

6. *Палеомагнетизм палеозоя* // Под ред. А.Н. Храмова. Л.: Недра, 1974. 238 с.
7. *Палеомагнитология* // Под ред. А.Н. Храмова. Л.: Недра, 1982. 312 с.
8. *Молоствовский Э.А.* Палеомагнитная стратиграфия верхней перми и триаса востока Европейской части СССР. Саратов: Изд-во Саратовского университета, 1983. 167 с.
9. *Методика палеомагнитного изучения красноцветов* // Под ред. В.П. Боронина. Казань: Изд-во Казанского университета, 1979. С.114-129.
10. *Боронин В.П.* О взаимосвязи магнитных свойств и геологических особенностей отложений перми и триаса на востоке Русской платформы // Латеральная изменчивость состава и физических свойств осадочной толщи в пределах локальных структур и ее отражение в зональности геофизических полей. Пермь, 1974.
11. *Лозовский В.Р., Ерофеев-Щак В.А., Афонин С.А.* О пепловых горизонтах и продуктах постэруптивных изменений пеплов в нижнем триасе Московской синеклизы // Известия ВУЗов. Геология и разведка, №3. 2001. С.19-28.
12. *Муравьев Ф.А., Балабанов Ю.П.* Литолого-минералогическая и палеомагнитная характеристика пограничных отложений перми и триаса центральной части Московской синеклизы // Верхний палеозой России. Стратиграфия и фациальный анализ. Казань: Изд-во Казанского университета, 2009. С.198-199.
13. *Сенников А.Г., Голубев В.К.* К фаунистическому обоснованию границы перми и триаса в континентальных отложениях Восточной Европы. 1. Гороховец – Жуков овраг. // Палеонтологический журнал. №3. С. 88-98.
14. *Lozovsky V., Krasilov V., Afonin S., Burov B., Yaroshenko O.* Transitional Permian-Triassic deposits in European Russia and non-marine correlations // *Natura Bresciana. Ann.Mus.Giv.sc.Nat., brescia, Monografia. No.25. 2001. 3010310.*
15. *Claoue-Long J.C., Zhang Z.C., Ma G.G., Du S.H.* The age of the Permian-Triassic boundary // *Earth and Planet. Sci. Lett.* 1991. V.105. P.182-190.

Магнитные свойства метеорита Челябинск

Н.С. Безаева¹, Д.Д. Бадюков², М.А. Назаров², Р. Rochette³, J.M. Feinberg^{4,5}, В.И. Трухин¹

¹ Физический факультет МГУ им. М.В. Ломоносова, Москва

² Институт геохимии и аналитической химии им. В.И.Вернадского РАН, Москва

³ CEREGE, CNRS, Aix-Marseille Université, Экс-ан-Прованс, Франция

⁴ Institute for Rock Magnetism, University of Minnesota, Миннеаполис, США

⁵ Department of Earth Sciences, University of Minnesota, Миннеаполис, США

Магнитные свойства метеоритов эффективно используются для их классификации [1-3] и имеют принципиальное значение для понимания природы магнитных полей на ранних этапах эволюции Солнечной системы. На сегодняшний день собрана и опубликована расширенная систематическая база данных по магнитной восприимчивости χ_0 каменных метеоритов, в которую вошли тысячи образцов разных типов, хранящихся в основных метеоритных коллекциях мира (обыкновенные хондриты [1], другие хондриты [2], ахондриты [3]). Созданная база уже многократно успешно использовалась как инструмент для быстрой классификации метеоритов, а также оперативного обнаружения ошибок в их классификации. Магнитная классификация метеоритов по χ_0 удобна и информативна в связи с тем, что, во-первых, измерения χ_0

являются быстрыми и неразрушающими; во-вторых, измерители магнитной восприимчивости являются широко распространёнными, а существование их портативных версий делает возможным их применение непосредственно в полевых условиях; в-третьих, величина $Ig\chi_0$ имеет минимальную дисперсию для метеоритов одного и того же типа. Проведение полного спектра магнитных измерений также позволяет получить независимые оценки содержания ферромагнитных минералов в веществе и выяснить их детальные магнитные свойства.

15 февраля 2013 г. над Челябинской областью наблюдался крупный болид, который сопровождался выпадением метеоритного дождя. Вещество найденных метеоритов, которым присвоено название Челябинск, относится к обыкновенным хондритам группы LL петрологического типа 5 со стадией ударной метаморфизма S4 и степенью выветривания W0. Челябинское событие представляет собой самое масштабное катастрофическое явление со времен Тунгусского события 1908 г. Метеорит Челябинск – это 134^{ый} метеорит России и 51^{ое} падение. Анализ Челябинского метеоритного дождя с точки зрения распределения по массам и размерам, а также оценка возможной массы максимального фрагмента представлены в работе [4].

В результате работ по сбору выпавшего метеоритного вещества, проведенных сотрудниками лаборатории метеоритики ГЕОХИ РАН в районе поселков Депутатский, Первомайский и Еманжелинка примерно в 40 км к юго-западу от Челябинска, в метеоритную коллекцию РАН поступило 464 метеоритных фрагментов общей массой более 3.5 кг. Среди собранных фрагментов установлены две компоненты: светлая, доминирующая (2/3 образцов) и представляющая собой обыкновенный хондрит LL5 с тонкими прожилками ударного расплава, и темная – ударно-расплавная брекчия. По химическому составу светлая и темная компоненты почти не отличаются. Результаты вещественного анализа метеорита Челябинск представлены в работе [5].

Мы изучили распределения магнитной восприимчивости χ_0 фрагментов хондрита Челябинск из коллекции ГЕОХИ РАН, а также провели полную магнитную характеристику метеоритного вещества (в температурном диапазоне от 10 до 1073К), которая включает в себя термомагнитный анализ (выявляющий характерные точки Кюри или точки фазовых переходов, например, $\alpha \rightarrow \gamma$ доминирующих магнитных фаз), исследование естественной остаточной намагниченности NRM (от англ. “natural remanent magnetization”) и получение спектров терморазмагничивания и размагничивания в переменных магнитных полях с амплитудой до 170 мТл NRM и остаточной намагниченности насыщения SIRM (от англ. “saturation isothermal remanent magnetization”), и таких характеристик как параметры петель гистерезиса (намагниченность насыщения M_s , остаточная намагниченность насыщения M_{rs} , коэрцитивная сила B_c и остаточная коэрцитивная сила B_{cr} , отражающая магнитную жесткость образцов) и др. Результаты магнитных исследований изложены в работах [6-7].

Для светлой и темной компонент метеоритного вещества средние значения $Ig\chi_0$ по коллекции составляют 4.57 ± 0.09 ($n=135$) и 4.65 ± 0.09 ($n=39$) (здесь

и далее $\lg\chi_0$ представлен в единицах $\times 10^{-9} \text{ м}^3/\text{кг}$), соответственно. Таким образом, темная компонента несколько богаче металлом. На рис. 1 представлена диаграмма распределения значений $\lg\chi_0$ для обыкновенных хондритов H, L, LL и L/LL разных петрологических типов, а также соответствующие значения для темной и светлой компонент хондрита Челябинск (данные из обновленной базы данных Р. Rochette, по отношению к работе [1]). Метеорит Челябинск в три раза более магнитный, чем типичные метеориты класса LL5, но сходен с подгруппами других богатых металлом метеоритов классов LL5 (например, *Paragould*, *Aldsworth*, *Bawku*, *Richmond*) и L/LL5 (*Glanerbrug*, *Княгиня*, *Qidong*). В частности, среднее значение $\lg\chi_0$ метеорита *Paragould* (4.56 ± 0.07) совпадает с соответствующим значением для светлой компоненты метеорита Челябинск. Изучение 174 образцов метеорита Челябинск из коллекции ГЕОХИ РАН выявило два необычных образца с аномально высокими значениями $\lg\chi_0$ (5.24 и 5.47), соответствующими хондритам H типа (Рис.1). Оба образца состоят из темной компоненты. Природа этих аномалий будет изучена и представлена в последующих работах. Других аномалий в коллекции ГЕОХИ РАН не обнаружено.

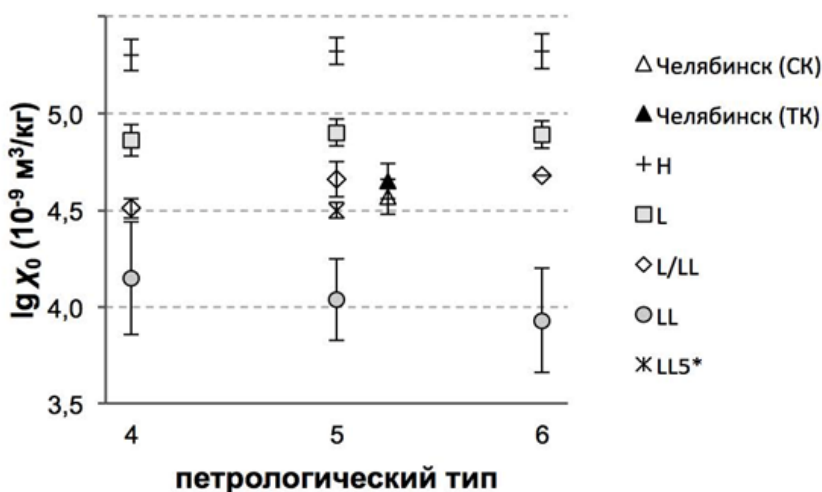


Рис. 1. Диаграмма распределения значений десятичного логарифма магнитной восприимчивости χ_0 для обыкновенных хондритов H, L, LL и L/LL разных петрологических типов. На диаграмме также представлена подгруппа богатых металлом LL5 хондритов (**Paragould*, *Aldsworth*, *Bawku*, *Richmond*) и данные для светлой и темной компонент хондрита Челябинск (СК и ТК, соответственно).

Оценки среднего содержания металла по намагниченности насыщения M_s в светлой и темной компонентах составляют 3.7 мас.% и 4.1 мас.%, соответственно. Эти значения соответствуют хондритам класса LL, среднее содержание металла в которых составляет 2.94 ± 1.51 вес.% ($n=14$) [8]. Оценки содержания металла по магнитной восприимчивости дают завышенные значе-

ния в связи с целым рядом факторов, одним из которых является большое количество суперпарамагнитных зерен металла (с характерным размером менее 20 нм).

При комнатной температуре металлические зерна являются многодоменными и характеризуются низкими значениями коэрцитивной силы B_c (<2 мТл) и остаточной коэрцитивной силы B_{cr} (15-23 мТл), что указывает на отсутствие тетраэзнита, характерного для хондритов LL. Это может быть связано с ударным метаморфизмом метеорита Челябинск (S4) и связанного с ударом нагрева, в результате которого тетраэзнит был трансформирован в богатый никелем тэнит. Зависимость магнитной минералогии и, в частности, магнитной жесткости образцов обыкновенных хондритов от степени их ударного метаморфизма (*shockstage*) впервые наглядно продемонстрирована в работе [8].

Термомагнитный анализ образцов метеорита Челябинск показал, что основными носителями магнитных свойств метеорита Челябинск в температурном диапазоне >80 К являются тэнит и камасит. В температурном диапазоне ниже 75К магнитные свойства определяются хромитом; магнитная жесткость образцов максимальна при 10К и составляет 606 мТл для светлой компоненты и 157 мТл для темной компоненты. Низкотемпературные свойства метеорита Челябинск и химических состав входящего в его состав хромита согласуются с ранее опубликованными данными для обыкновенных хондритов [9].

Работа выполнена при поддержке Программы 22 Президиума РАН и U.S. National Science Foundation IRM Visiting Fellowship.

1. Rochette P., Sagnotti L., Bourot-Denise M., Consolmagno G. et al. Magnetic classification of stony meteorites: 1. Ordinary chondrites // Meteorit. Planet. Sci. 2003. V. 38 (2), P. 251-268.
2. Rochette P., Gattacceca J., Bonal L., Bourot-Denise M. et al. Magnetic classification of stony meteorites: 2. Non-ordinary chondrites // Meteorit. & Planet. Sci. 2008. V. 43(5), P. 959-980.
3. Rochette P., Gattacceca J., Bourot-Denise M., Consolmagno G. et al. Magnetic classification of stony meteorites: 3. Achondrites. Meteorit. Planet. Sci. 2009. V. 44(3), C. 405-427.
4. Бадюков Д.Д., Дудоров А.Е. Фрагменты Челябинского метеоритного дождя: распределение по массам, размерам и возможная масса максимального фрагмента // Геохимия. 2013. №7. С. 643-646.
5. Галимов Э.М., Колотов В.П., Назаров М.А., Костицын Ю.А. и др. Результаты вещественного анализа метеорита Челябинск // Геохимия. 2013. №7. С. 580-598.
6. Бегаева Н.С., Бадюков Д.Д., Назаров М.А., Рошетт П., Фейнберг Дж. Магнитные свойства метеорита Челябинск: предварительные результаты // Геохимия. 2013. №7. С. 629-635.
7. Bezaeva N.S., Badyukov D.D., Nazarov M.A., Rochette P., Feinberg F.M., Markov G.P., Borschneck D., Demory F., Gattacceca J. Magnetic properties of the LL5 ordinary chondrite Chelyabinsk (fall of February 15, 2013) // Meteorit. Planet. Sci. (submitted).
8. Gattacceca J., Suavet C., Rochette P., Weiss B. et al. Metal phases in ordinary chondrites: magnetic hysteresis properties and implications for thermal history // Meteorit. Planet. Sci. (submitted).